

Fig. 160. Kalkspat. Ditrigonal-skalenoedrisch. $t \{2\bar{1}31\}$; $r \{10\bar{1}\}$.

Fig. 161. Turmalin. Ditrigonal-pyramidal. $p \{01\bar{1}0\}$; $s \{11\bar{2}0\}$; $r \{10\bar{1}1\}$; $r' \{011\bar{1}\}$; $o \{02\bar{2}1\}$; $e \{10\bar{1}2\}$. Nach Tschermark.

Fig. 162. Quarz. Trigonal-trapezoedrisch. Rechtsquarz. $m \{10\bar{1}0\}$; $r \{10\bar{1}1\}$; $r' \{01\bar{1}1\}$; $s \{11\bar{2}1\}$; $x \{51\bar{6}1\}$.

Fig. 163. Quarz. Trigonal-trapezoedrisch. Linksquarz. $m \{10\bar{1}0\}$; $r \{10\bar{1}1\}$; $r' \{01\bar{1}1\}$; $s \{2\bar{1}11\}$; $x \{61\bar{5}1\}$.

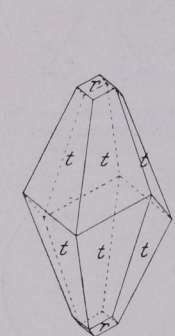


Fig. 160. Kalkspat.

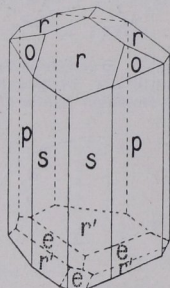


Fig. 161. Turmalin.

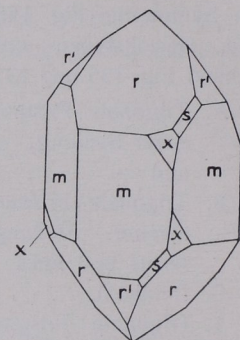


Fig. 162. Rechtsquarz.

Fig. 164. Dioptas. Trigonal-rhomboedrisch. $p \{11\bar{2}0\}$; $r \{02\bar{2}1\}$; $s \{14\bar{1}3\bar{1}6\}$.

Fig. 165. Natriumperjodat. Trigonal-pyramidal. $c \{0001\}$; $r \{10\bar{1}1\}$; $e \{02\bar{2}1\}$; $s \{11\bar{2}3\}$.

Fig. 166. Benitoit. Ditrigonal-bipyramidal. $c \{0001\}$; $p \{10\bar{1}1\}$; $m \{10\bar{1}0\}$; $e \{011\bar{2}\}$; $\pi \{01\bar{1}1\}$; $\mu \{01\bar{1}0\}$; $a \{11\bar{2}0\}$; $x \{22\bar{4}1\}$.

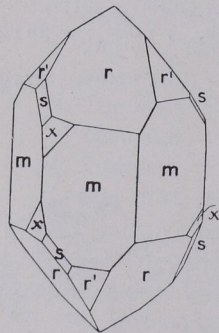


Fig. 163. Linksquarz.

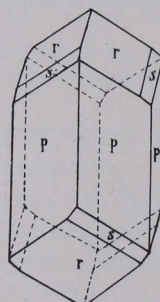


Fig. 164. Dioptas.

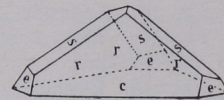


Fig. 165. Natriumperjodat.

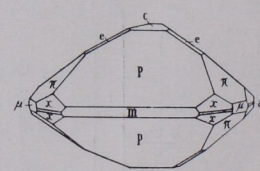


Fig. 166. Benitoit.